

# Комплементарное применение нейтронного и рентгеновского синхротронного рассеяния для определения магнитной микроструктуры обменно-связанных слоистых наногетероструктур

© Е.А. Кравцов<sup>1,2</sup>, В.В. Устинов<sup>1</sup>

<sup>1</sup> Институт физики металлов УрО РАН,  
Екатеринбург, Россия

<sup>2</sup> Уральский государственный технический университет (УПИ),  
Екатеринбург, Россия  
E-mail: kravtsov@imp.uran.ru

Рассматривается комплементарное применение нейтронных и рентгеновских методик для исследования неоднородной магнитной микроструктуры, характерной для обменно-связанных наногетероструктур, образованных чередующимися слоями ферромагнитных и антиферромагнитных металлов. Показано, что изменение магнитных моментов как по величине, так и по направлению внутри ферромагнитных слоев может быть определено путем комбинированного применения поляризационной нейтронной и резонансной рентгеновской магнитной рефлектометрии, а внутри антиферромагнитных слоев — комбинированного применения рентгеновской и нейтронной дифрактометрии.

Работа выполнена при частичной поддержке РФФИ (грант № 10-02-96033-р\_урал), программы Президиума РАН (грант № 09-Р-2-1037) и программы поддержки ведущих научных школ (грант Н.Ш.-3545.2010.02).

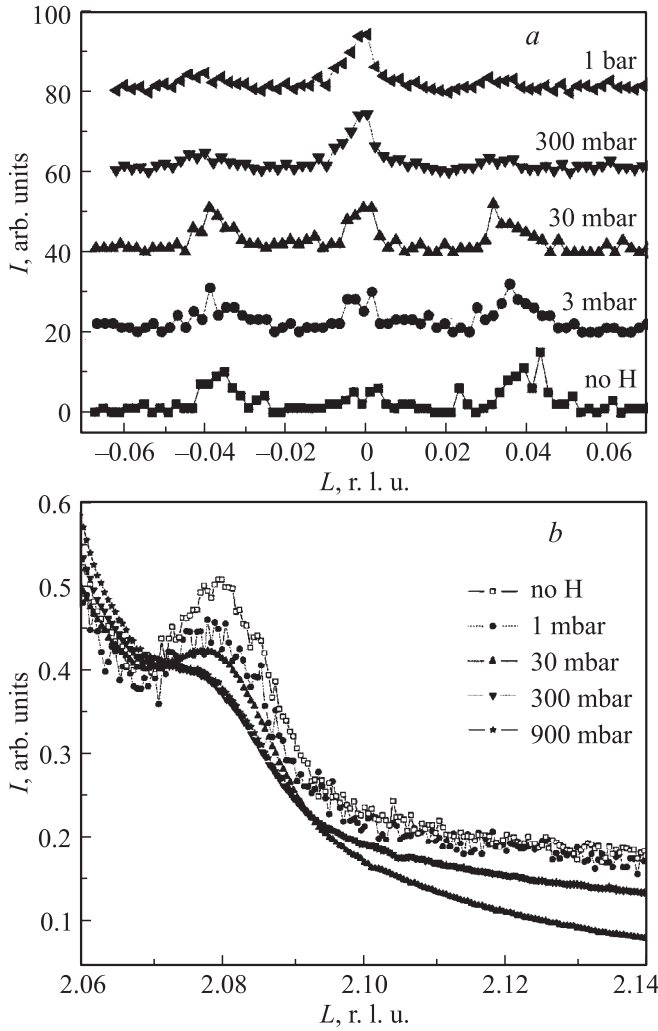
1. Магнитныеnanoструктуры, содержащие тонкие слои ферромагнитных и антиферромагнитных металлов, представляют большой интерес как с точки зрения фундаментальной физики, так и в качестве потенциальных элементов спинtronных устройств. На ранних этапах исследования магнитных nanoструктур основное внимание, как правило, уделялось определению магнитных моментов, усредненных по отдельным слоям, и межслоиному обменному взаимодействию, однако в последние годы усиливается интерес к исследованию внутрислойной магнитной структуры. Для того чтобы понимать природу эффектов, наблюдаемых в магнитных nanoструктурах, и контролируемым образом модифицировать их свойства, необходимо иметь возможность прецизионно определять (на атомном уровне) неоднородные профили намагниченности внутри отдельных слоев, которые типичны для таких систем. В настоящей работе мы обсуждаем комплементарное применение нейтронных и рентгеновских синхронных методов для определения магнитной структуры внутри тонких ферромагнитных и антиферромагнитных слоев. Применение рассматриваемых методов иллюстрируется на примере магнитно-неоднородных систем: ферримагнитных сверхрешеток Fe/Gd, а также антиферромагнитных nanoструктур Cr/V, для которых характерно распространение несоизмеримой волны спиновой плотности внутри слоев хрома.

2. Гетероструктуры на основе Cr — это антиферромагнитные системы, в которых распространяется волна спиновой плотности (ВСП), несоизмеримая с периодичностью ОЦК-решетки Cr. ВСП представляет собой периодическую модуляцию величины антиферромагнитно-упорядоченных магнитных моментов Cr с типичным периодом 50–70 Å. ВСП в системах на основе Cr существует с волной зарядовой плот-

ности и волной упругих напряжений (ВУН), которые представляют собой периодическую модуляцию соответственно зарядовой плотности и межатомных расстояний с периодом вдвое меньше периода ВСП [1]. Эпитетаксиальные напряжения, примеси, размерные эффекты и эффекты близости от соседних слоев могут привести к трансформации несоизмеримой ВСП в ВСП, соизмеримую с периодом кристаллической решетки Cr.

Переход между соизмеримой и несоизмеримой фазами ВСП может существенным образом сказаться на магнитных свойствах всей системы. Например, эффект гигантского магнитосопротивления, характерный для многослойных структур Fe/Cr, наблюдается только в системах с соизмеримой ВСП в слоях Cr и исчезает при переходе ВСП в несоизмеримую фазу [2]. С другой стороны, в Fe/Cr-гетероструктурах со сравнительно толстыми слоями хрома наблюдается эффект односторонней анизотропии, который исчезает при переходе ВСП в слоях хрома из несоизмеримой в соизмеримую фазу [3]. Величина и знак эффекта во многом определяются периодом, поляризацией и направлением распространения несоизмеримой ВСПР в слоях хрома.

Магнитное рассеяние нейтронов позволяет непосредственно определить магнитное состояние в слоях Cr и в принципе способно предоставить полную информацию о свойствах ВСП [1]. Модуляция величины магнитного момента Cr в несоизмеримой ВСП приводит к возникновению сателлитов, наблюдаемых при рассеянии нейтронов вблизи запрещенных брэгговских пиков. В случае соизмеримой ВСП нейтронные рефлексы наблюдаются непосредственно в позициях запрещенных пиков. Однако интенсивности потока нейтронов на современных исследовательских реакторах зачастую недостаточны для получения результатов с высоким разрешением. С другой



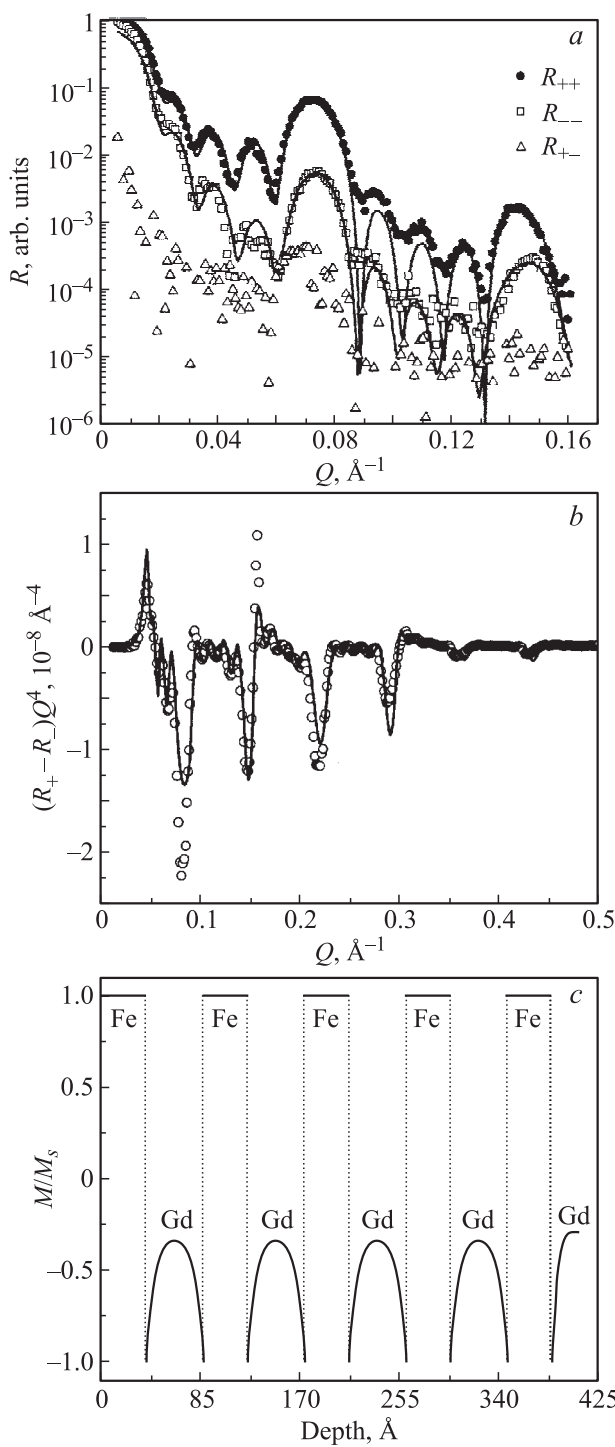
**Рис. 1.** Влияние давления водорода на температурную зависимость ВСП и ВУН сателлитов в  $[Cr(500 \text{ \AA})/C(14 \text{ \AA})]_4$  по данным рассеяния нейтронов (а) и рентгеновского синхротронного излучения (б).

стороны, рассеяние синхротронного рентгеновского излучения позволяет детектировать сателлиты, возникающие вблизи фундаментальных брэгговских пиков Ст из-за распространения ВУН, и таким образом определять свойства ВУН с очень высоким разрешением, но при этом теряется информация о поляризации ВСП. Кроме того, рентгеновская дифракция неспособна предоставить какую-либо информацию о соизмеримой ВСП. Несмотря на то что применение любой из двух указанных методик не позволяет определить полную магнитную фазовую диаграмму системы с высоким разрешением, это становится возможным при комбинированном использовании сразу двух методик. При этом нейтронная дифракция позволяет качественно определить поляризацию и направление распространения ВСП, а рентгеновская дифракция — с высоким разрешением количественно определить период и температуру Нееля несоизмеримой ВСП.

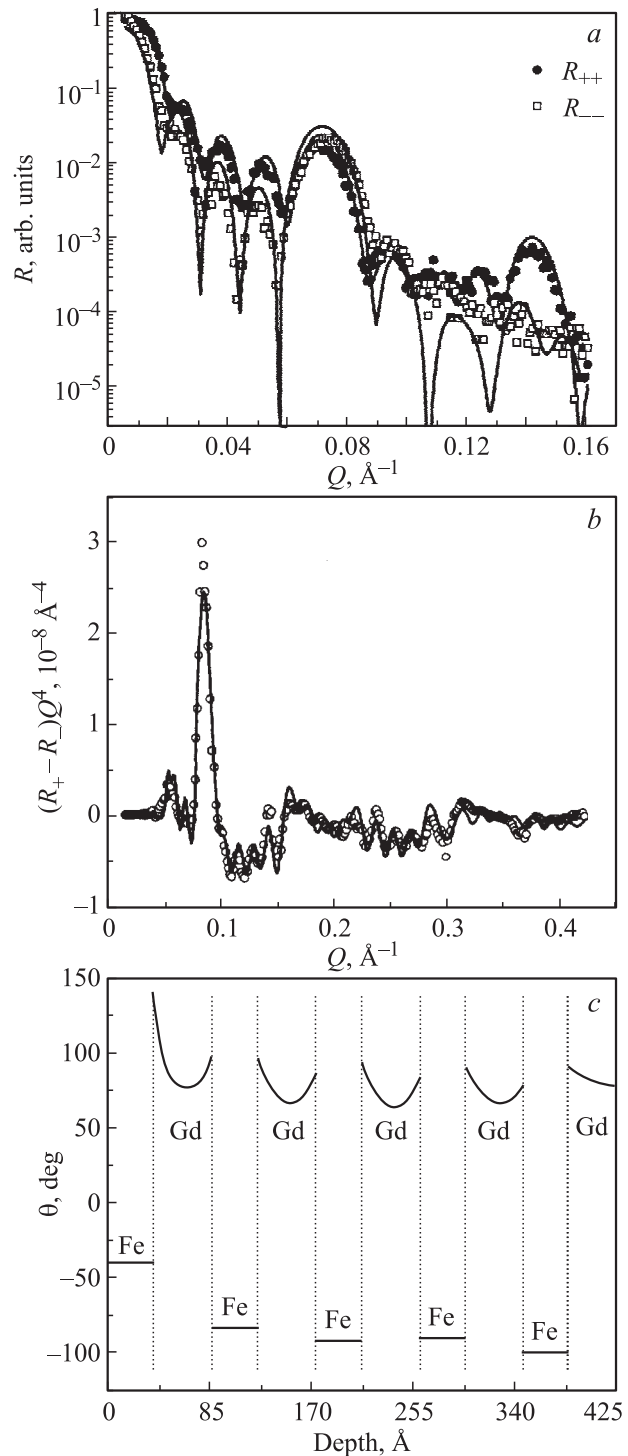
Описанный выше комплементарный подход был использован нами для исследования эффектов близости на спин-волновое состояние в гетероструктурах Cr/V [4,5]. На рис. 1 результаты нейтронного и синхротронного рассеяния в гетероструктурах  $[Cr(500 \text{ \AA})/V(14 \text{ \AA})]_4$ , которые дают прямое экспериментальное доказательство того, что насыщение водородом слоев ванадия позволяет контролируемым образом модифицировать спин-волновое состояние в слоях хрома и, в частности, обратным образом осуществлять переход между несоизмеримой и соизмеримой фазами ВСП [5]. Эта возможность управления спин-волновым состоянием может оказаться полезной при создании спинtronных устройств с использованием наногетероструктур на основе хрома.

3. Определение неоднородного профиля намагничивенности внутри тонких ферромагнитных слоев представляет собой очень сложную задачу, особенно если магнитные моменты могут изменяться как по величине, так и по направлению. К числу наиболее мощных методик для таких исследований относятся поляризационная нейтронная рефлектометрия (ПНР) и резонансная рентгеновская магнитная рефлектометрия (РРМР). ПНР основана на анализе спин-зависимого зеркального отражения поляризованных нейтронов от поверхности магнитных наногетероструктур. Преимуществом этой методики является то, что она основана на прямом взаимодействии спина нейтронов с атомными магнитными моментами и позволяет получить информацию о толщинной зависимости двух компонент магнитного момента, лежащих в плоскости образца. С другой стороны, эта техника не обладает чувствительностью к элементному составу и ввиду низкой интенсивности нейтронных пучков имеет ограниченное пространственное разрешение. При работе в режиме жесткого рентгеновского излучения РРМР основана на использовании резонансного усиления магнитного рассеяния рентгеновских лучей вблизи  $K$ -краев переходных металлов и  $L$ -краев редкоземельных элементов. РРМР обеспечивает как чувствительность к элементному составу, так и высокое пространственное разрешение. Однако при работе с циркулярно поляризованным излучением с помощью РРМР можно измерить только одну компоненту магнитного момента, лежащую в плоскости образца и в плоскости рассеяния. Кроме того, не всегда возможно измерить резонансные магнитные сигналы для всех элементов, присутствующих в исследуемых наногетероструктурах.

Комплементарный подход, сочетающий ПНР и РРМР, позволяет компенсировать недостатки и усилить достоинства обоих методов и таким образом определять неоднородные элемент-чувствительные профили намагничивенности в ферромагнитных наногетероструктурах с очень высоким пространственным разрешением. Как было продемонстрировано нами на примере гетероструктур  $[Fe(35 \text{ \AA})/Gd(50 \text{ \AA})]_5$  [6], одновременный самосогласованный анализ рентгеновских и нейтронных рефлектометрических спектров позволяет определять элемент-чувствительные толщинные зависимости вектор-



**Рис. 2.** Экспериментальные (символы) и расчетные (линии) ПНР-спектры (*a*) и PPMP-спектры на  $L_2$ -крае поглощения Gd ( $E = 7929$  eV) (*b*) от сверхрешетки  $[Fe(35\text{ \AA})/Cd(50\text{ \AA})]_5$ , измеренные при  $T = 140$  K,  $H = 500$  Ое. *c* — толщинная зависимость величины магнитного момента в гетероструктуре Fe/Gd по данным одновременного самосогласованного анализа ПНР- и PPMP-спектров.  $Q$  — вектор рассеяния,  $R$  — коэффициент отражения поляризованных нейтронов,  $R_{+-} - R_{--}$  — разность коэффициентов отражения фонов положительной и отрицательной циркулярных поляризаций.



**Рис. 3.** Экспериментальные (символы) и расчетные (линии) ПНР-спектры (*a*) и PPMP-спектры на  $L_2$ -крае поглощения Gd ( $E = 7929$  eV) (*b*) от сверхрешетки  $[Fe(35\text{ \AA})/Cd(50\text{ \AA})]_5$ , измеренные при  $T = 20$  K,  $H = 5$  кОе. *c* — толщинная зависимость угла поворота магнитных моментов в гетероструктуре Fe/Gd по данным одновременного самосогласованного анализа ПНР- и PPMP-спектров. Обозначения те же, что на рис. 2.

ра намагниченности в плоскости слоев в мультислойных системах с беспрецедентной точностью, включая определение неоднородной внутрислойной магнитной структуры с разрешением, близким к атомному.

На рис. 2 приведены спектры ПНР и PPMP от гетероструктуры Fe/Gd, а также определенные путем самосогласованной обработки данных профили намагниченности при значениях температуры  $T = 140\text{ K}$  и магнитного поля  $H = 500\text{ Oe}$ . Как следует из приведенных результатов, в этом случае внутри слоев гадолиния наблюдается неоднородное магнитное состояние, характеризующееся усилением магнитного момента вблизи интерфейсов Fe/Gd и уменьшением их в середине слоев. Рис. 3 демонстрирует пример неоднородного магнитного состояния (реализующегося при  $T = 20\text{ K}$ ,  $H = 5\text{ kOe}$ ), когда наблюдается сильное вращение магнитных моментов внутри слоев гадолиния, причем магнитные моменты Gd ориентированы по направлению приложенного магнитного поля в середине слоев и против магнитного поля в интерфейсной области. Как следует из приведенных результатов, по сравнению с данными, полученными с помощью только одной из используемых нами методик (см., например, [7–9]), применение комплементарного подхода позволяет определить неоднородное распределение вектора намагниченности внутри отдельных слоев с разрешением в несколько атомных монослоев.

**4.** В заключение можно сделать вывод, что комплементарное применение нейтронного и рентгеновского синхронного рассеяния позволяет с высоким разрешением определять неоднородную магнитную структуру внутри ферромагнитных и антиферромагнитных слоев в металлических наногетероструктурах. Мы подчеркиваем важность такого комбинированного подхода, поскольку он позволяет получить результаты, которых невозможно добиться при использовании только одной из этих методик. Развитие и использование комплементарных нейтронных и рентгеновских методик значительно расширяет экспериментальные возможности при исследовании и дизайне новых материалов и устройств спинtronики.

## Список литературы

- [1] E. Fawcett. Rev. Mod. Phys. **60**, 209 (1988).
- [2] E.E. Fullerton, K.T. Riggs, C.H. Sowers, S.D. Bader. Phys. Rev. Lett. **75**, 330 (1995).
- [3] J.S. Parker, L. Wang, K.A. Steiner, P.A. Crowell, C. Leighton. Phys. Rev. Lett. **97**, 227 206 (2006).
- [4] E. Kravtsov, R. Brucas, B. Hjörvarsson, A. Hoser, A. Liebig, G.J. McIntyre, M.A. Milyaev, A. Nefedov, L. Paolasini, F. Radu, A. Remhof, V.V. Ustinov, F. Yakhou, H. Zabel. Phys. Rev. B **76**, 024 421 (2007).
- [5] E. Kravtsov, A. Nefedov, G. Nowak, K. Zhernenkov, H. Zabel, B. Hjörvarsson, A. Liebig, A. Hoser, G.J. McIntyre, L. Paolasini, A. Remhof. J. Phys.: Cond. Matter **21**, 336 004 (2009).
- [6] E. Kravtsov, D. Haskel, S.G.E. te Velthuis, J.S. Jiang, B.J. Kirby. Phys. Rev. B **79**, 134 438 (2009).
- [7] C. Dufoir, K. Cherifi, G. Marchal, Ph. Mangin, M. Hennion. Phys. Rev. B **47**, 14 572 (1993).
- [8] W. Hahn, M. Loewenhaupt, Y.Y. Huang, G.P. Felcher, S.S.P. Parkin. Phys. Rev. B **52**, 16 041 (1995).
- [9] D. Haskel, G. Srager, Y. Choi, D.R. Lee, J.C. Lang, J. Meerschaut, J.S. Jiang, S.D. Bader. Phys. Rev. B **67**, 180 406(R) (2003).